

УСТОЙЧИВЫЙ МЕТОД ОДНОСТОРОННЕГО ОПРЕДЕЛНИЯ МЕСТА ПОВРЕЖДЕНИЯ ПО ПАРАМЕТРАМ АВАРИЙНОГО РЕЖИМА ДЛЯ ВОЗДУШНЫХ ЛИНИЙ С ЗАЗЕМЛЕННЫМ ГРОЗОТРОСОМ

Чернеев Павел Павлович, НГТУ им. Р. Е. Алексеева, г. Нижний Новгород

Куликов Александр Леонидович, НГТУ им. Р. Е. Алексеева,

г. Нижний Новгород

Федосов Денис Сергеевич, ИРНИТУ,

г. Иркутск



Введение

- 1. Применение оптического кабеля, встроенного в грозозащитный трос (ОКГТ), требует заземления грозотроса на каждой опоре.
- При заземлении грозотроса путь протекания ТОКОВ нулевой последовательности проходит по фазным проводам, земле нейтраль трансформатора. заземленному грозотросу в Сопротивление дополнительную ВНОСИТ реактивную составляющую в сопротивление повреждения.
- 3. Существующие алгоритмы одностороннего ОМП по параметрам аварийного режима реализованы с учетом некоторых допущений о параметрах линии, сети и повреждения.



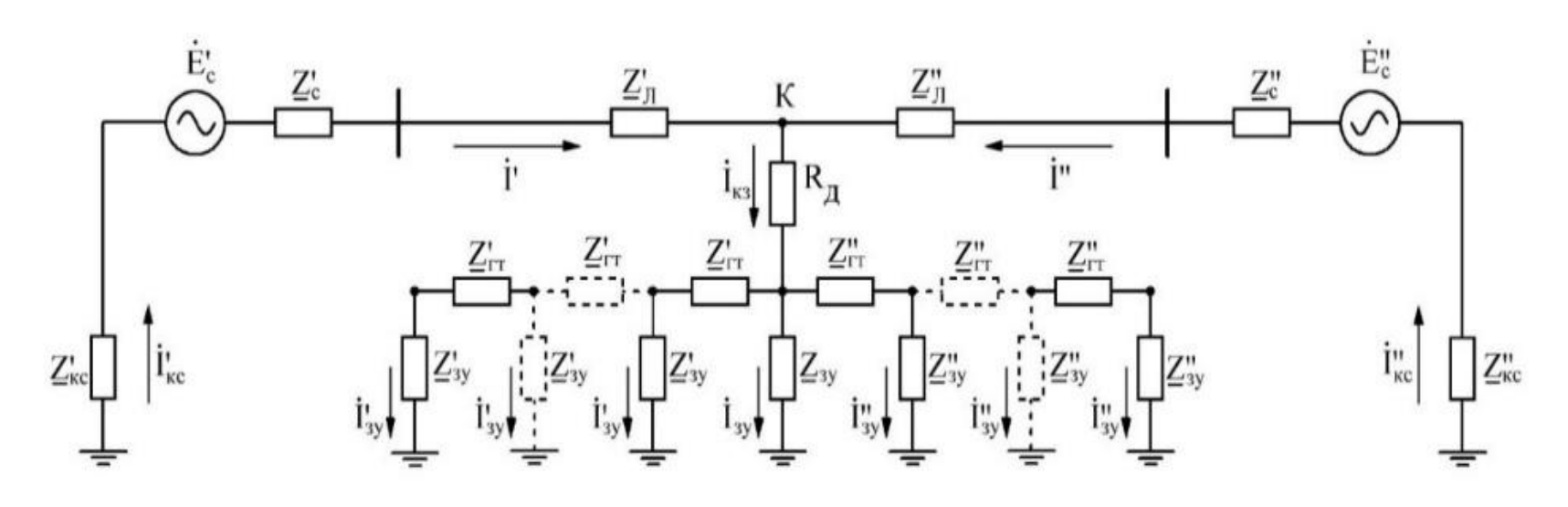
Устойчивость алгоритмов определения места повреждения

Конструктивные	Климатические	Параметры сети	Параметры	
параметры	параметры		замыкания	
 Способ заземления ГТ; Удельные параметры ГТ; Высота подвески ГТ. 	Сопротивление ЗУ опоры, которое характеризуется: - Климатическими характеристики района; - Реальными погодные условия.	- Сдвиг в углах ЭДС питающих энергосистем; - Сопротивление системы удаленного конца ЛЭП.	Переходное сопротивление в месте замыкания, включающее в себя: - Сопротивление дуги, - Сопротивление ЗУ опоры, - Сопротивление ГТ.	

Определение места повреждения на ЛЭП с заземленным грозозащитным тросом

Полное сопротивление повреждения:

$$\boldsymbol{Z}_{\Pi} = \boldsymbol{Z}_{\mathrm{C}} + \boldsymbol{Z}_{\mathrm{3Y.C}} + \boldsymbol{Z}_{\mathrm{J}} + \boldsymbol{R}_{\mathrm{J}} + \boldsymbol{Z}_{\mathrm{3Y}} + \boldsymbol{Z}_{\mathrm{TT}}$$



Эквивалентная схема замещения ВЛ с заземленным грозозащитным тросом



Модифицированный алгоритм одностороннего метода ОМП

Замер сопротивления в месте установки устройства ОМП:

$$\underline{Z'} = \frac{\dot{U'}}{\dot{I'}} = \underline{Z}_{1\text{уд.}\pi} \cdot L_K + \frac{\dot{I}_K}{\dot{I'}} \cdot R_{\pi}$$
 (1),

Ошибка замера сопротивления:

$$\Delta \underline{Z'} = \frac{\dot{I}_K}{\dot{I'}} \cdot R_{\Pi} \quad (2),$$

Удельная ошибка замера сопротивления:

$$\Delta \underline{Z}'_{yA} = \frac{\dot{I}_K}{\dot{I}'} \quad (3)$$

Ток в месте повреждения и коэффициент токораспределения:

$$\dot{I}_{\#K} = \dot{I'}_{\#} \cdot \underline{K}_{\text{TOK}\#}, \quad \underline{K}_{\text{TOK}\#} = \frac{Z''_{\#c}}{Z'_{\#c} + \underline{Z}_{\#\pi} + Z''_{\#c}}$$
 (4).

 \dot{U}', \dot{I}' — напряжение и ток в месте установки устройства ОМП;

 $\underline{Z}_{1 y д.л} -$ удельное сопротивление лини;

 L_K — расстояние до места повреждения;

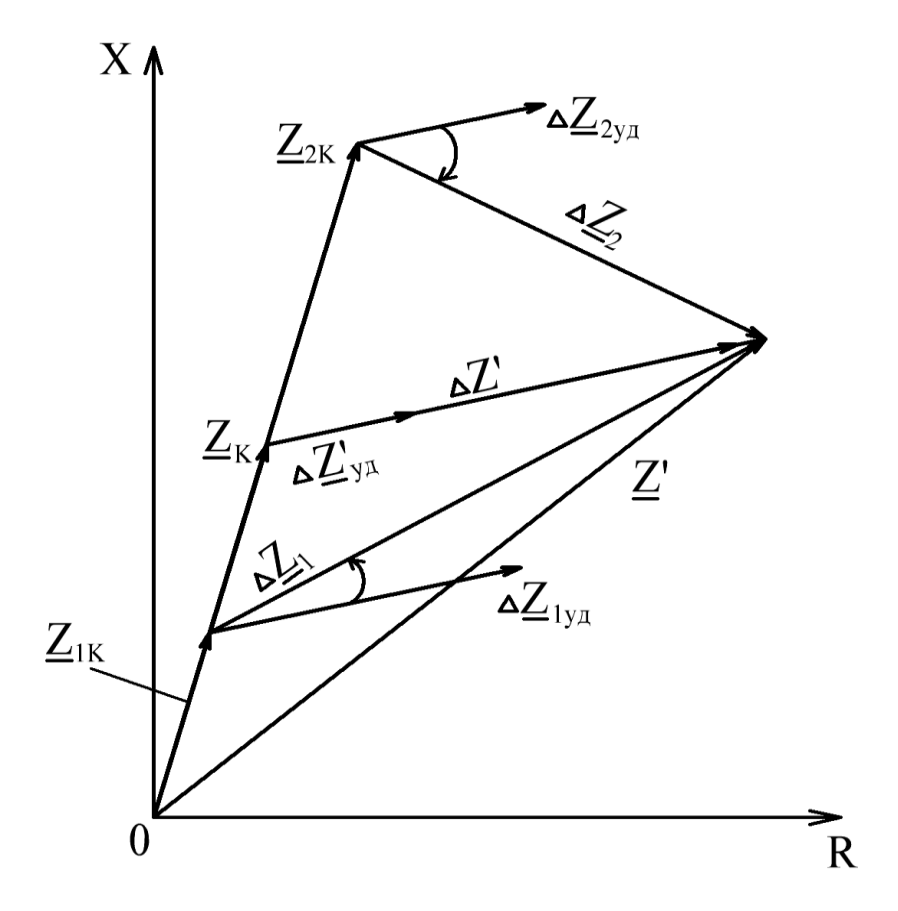
 I_K — ток в месте повреждения;

 $R_{\rm II}$ — переходное сопротивление в месте повреждения.

- индекс последовательности.

нижего техниче им. Р. Е.

Модифицированный алгоритм одностороннего метода ОМП



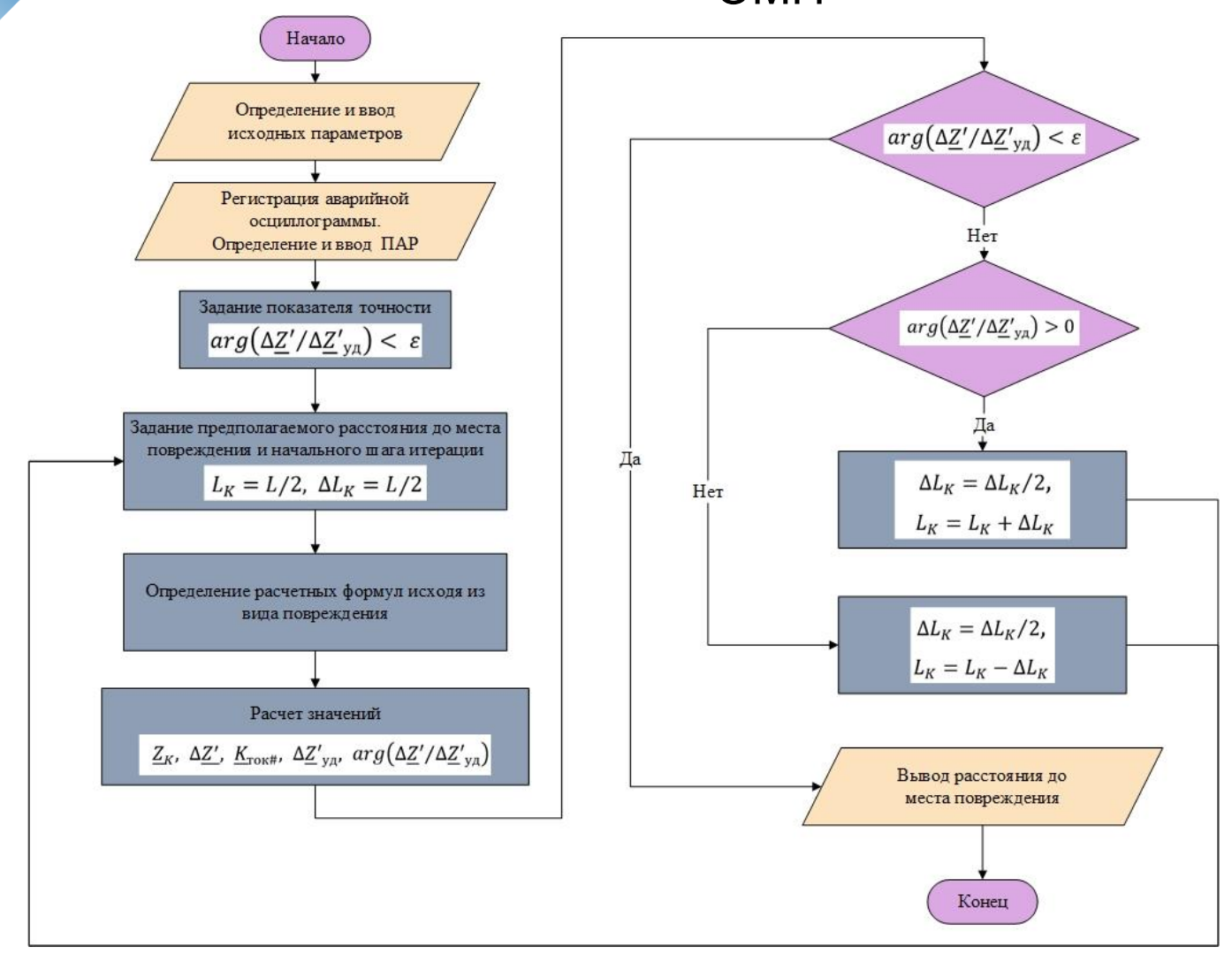
Соотношение векторов сопротивления для пояснения модифицированного алгоритма



Модифицированный алгоритм одностороннего метода ОМП

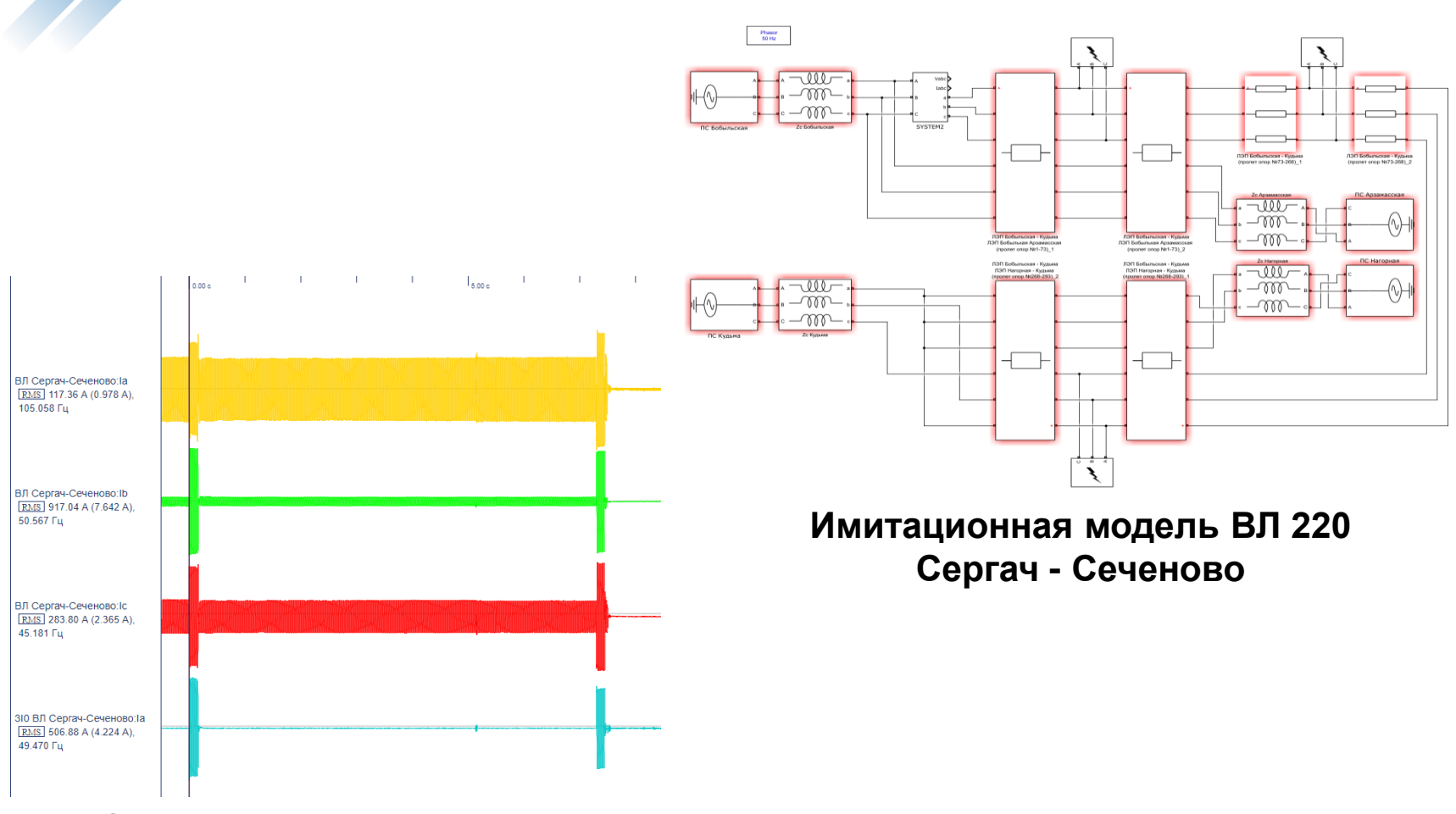
Вид повреждения	$\Delta \underline{Z'}$	$\Delta \underline{oldsymbol{Z}}'_{ m уд}$	
Однофазное КЗ	$\frac{3 \cdot \dot{I'}_0 \cdot R_{\Pi}}{\left(\dot{I'} + \underline{K} \cdot \dot{I'}_0\right) \cdot \underline{K}_{\text{TOK}0}}$	$\frac{3 \cdot \dot{I'}_0}{\left(\dot{I'} + \underline{K} \cdot \dot{I'}_0\right) \cdot \underline{K}_{\text{TOK}0}}$	
Двухфазное КЗ	$\frac{\left(\dot{I'}_{2B}-\dot{I'}_{2C}\right)\cdot R_{\Pi}}{\left(\dot{I'}_{B}-\dot{I'}_{C}\right)\cdot \underline{K}_{\text{TOK2}}}$	$\frac{\dot{I'}_{2B} - \dot{I'}_{2C}}{\left(\dot{I'}_B - \dot{I'}_C\right) \cdot \underline{K}_{\text{TOK2}}}$	
Двухфазное КЗ на землю	$\frac{\left(\dot{I'}_{2B}-\dot{I'}_{2C}\right)\cdot R_{\Pi}}{\left(\dot{I'}_{B}-\dot{I'}_{C}\right)\cdot \underline{K}_{\text{TOK2}}}$	$\frac{\dot{I'}_{2B} - \dot{I'}_{2C}}{\left(\dot{I'}_B - \dot{I'}_C\right) \cdot \underline{K}_{\text{TOK2}}}$	

Модифицированный алгоритм одностороннего метода ОМП





Испытание метода на аварийных осциллограммах



Осциллограмма токов и напряжений



Результаты

Результаты ОМП

Метод ОМП	L-метр	Метод Wiszniewski	Метод Аржанникова	Метод Висящева	Предлагаемый метод
Расчетное расстояние до места повреждения, км	35,85	31,28	30,72	28,65	21,54
Относительная погрешность, %	22,35	15,09	14,20	10,91	0,40



Выводы

- 1. При расчете сопротивления повреждения наблюдается как активная, так и реактивная составляющая. Расчетное сопротивление повреждения, для рассмотренного повреждения, составляет: 20,9569+j2,3956 Ом.
- 2. Предлагаемый алгоритм позволяет компенсировать влияние реактивной составляющей сопротивления повреждения. Таким образом, повышая точность ОМП.
- 3. Необходима разработка специализированных метод ОМП для ЛЭП с заземленным ГТ или универсальных методов ОМП. Такой метод должен учитывать или быть устойчив к влиянию реактивной составляющей сопротивления повреждения, а также к влиянию труднопредсказуемых или случайных параметров сети.
- 4. Новый метод ОМП рекомендуется к реализации в виде программного обеспечения для устройств ОМП, а также терминалов релейной защиты и автоматики.



СПАСИБО ЗА ВНИМАНИЕ!